

А К А Д Е М И Я Н А У К С С С Р  
СИБИРСКОЕ ОТДЕЛЕНИЕ  
А В Т О М Е Т Р И Я

№ 1

1968

УДК 621.317.7.083.5

П. П. ОРНАТСКИЙ, Ю. А. СКРИПНИК  
(Киев)

АВТОМАТИЧЕСКИЕ ПРИБОРЫ СРАВНЕНИЯ ДЛЯ ИЗМЕРЕНИЯ  
КОМПЛЕКСНЫХ КОЭФФИЦИЕНТОВ ПЕРЕДАЧИ ДАТЧИКОВ

Преобразование неэлектрических величин в электрические наиболее просто осуществляется с помощью параметрических датчиков, питаемых напряжением повышенной или высокой частоты. Для исключения влияния непостоянства амплитуды питающего генератора целесообразно в качестве выходной электрической величины принять комплексное сопротивление датчика  $Z_x$ , используя зависимость составляющих комплексного сопротивления от входной неэлектрической величины датчика, или комплексный коэффициент передачи по напряжению датчика  $K_x$ , используя зависимость модуля и аргумента коэффициента передачи от входной неэлектрической величины.

Для датчиков с распределенными параметрами  $K_x$  является более удобной величиной для измерения.

Задача измерения составляющих комплексных сопротивлений с высокой точностью решается с помощью автоматических мостов переменного тока [1] и автокомпенсаторов переменного тока [2].

Для решения задачи измерения составляющих комплексного коэффициента передачи датчика также могут быть использованы автокомпенсаторы полярно-координатного типа [3]. Однако отсутствие широкополосных по частоте фазовращателей и делителей напряжения с высокими метрологическими характеристиками затрудняет использование существующих схем автокомпенсаторов для решения указанной задачи.

Рассмотрим структурные схемы автоматических приборов сравнения, в которых возможно применение существующих фазовращателей и делителей напряжения без существенного увеличения погрешности измерения.

В зависимости от вида уравнения датчика, связывающего значение  $K_x$  с измеряемой величиной  $X$ , параметрические датчики можно подразделить на три типа:

1) амплитудные датчики:

$$\text{mod } \dot{K}_x = \rho (1 \pm S_\rho X); \arg \dot{K}_x = \text{var}, \quad (1)$$

где  $\rho$  — начальное значение модуля коэффициента передачи датчика;  
 $S_\rho$  — чувствительность датчика по амплитуде;

2) фазовые датчики:

$$\arg \dot{K}_x = \psi \pm S_\psi X; \text{ mod } \dot{K}_x = \text{var}, \quad (2)$$

где  $\psi$  — начальное значение аргумента коэффициента передачи датчика;  $S_\psi$  — чувствительность датчика по фазе;

3) амплитудно-фазовые датчики:

$$\dot{K}_x = \rho (1 \pm S_\rho X) e^{j(\psi \pm S_\psi X)} \quad (3)$$

В частном случае могут отсутствовать изменения модуля коэффициента передачи в фазовых датчиках ( $\text{mod } \dot{K}_x = \text{const}$ ) и изменения аргумента — в амплитудных датчиках ( $\arg \dot{K}_x = \text{const}$ ).

В полярно-координатных автокомпенсаторах изменения модуля  $\Delta\rho$  или аргумента  $\Delta\psi$  коэффициента передачи уравновешиваются с помощью обратных преобразователей, в качестве которых обычно используются управляемые делители напряжения ДН и круговые фазовращатели ФВ (рис. 1, а). Разностное напряжение  $\Delta U = f(\Delta\rho, \Delta\psi)$  с выхода схемы сравнения СС усиливается и воздействует на управляемые

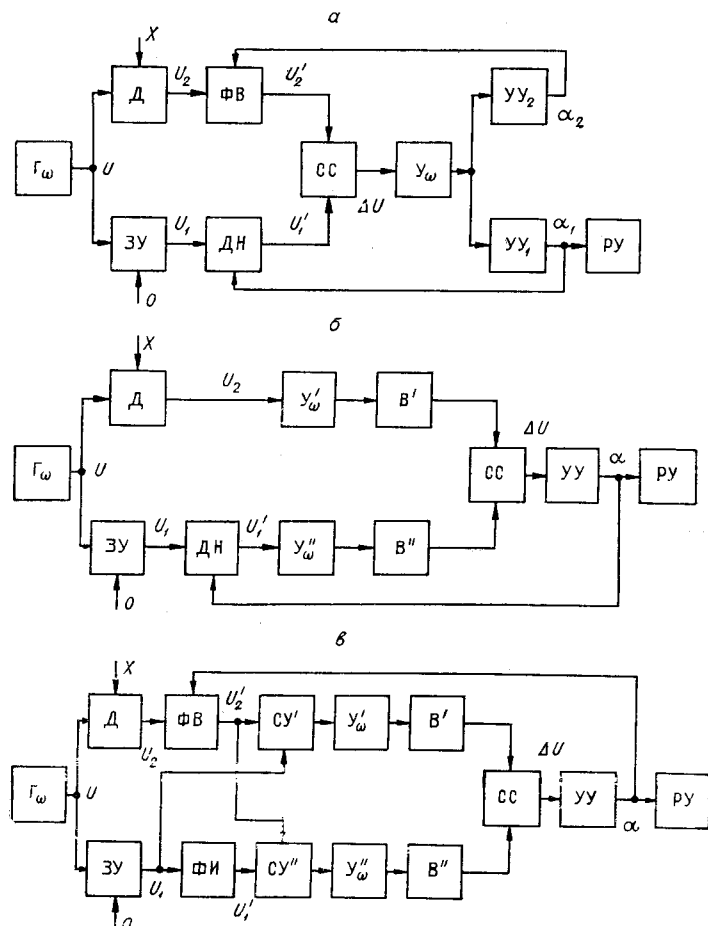


Рис. 1. Автоматические приборы одновременного сравнения:  
 а — амплитудно-фазовый (компенсационный); б — амплитудный фазонечувствительный; в — фазовый амплитудно-нечувствительный;  $\Gamma_\omega$  — генератор;  $D$  — датчик;  $CC$  — схема сравнения;  $\Phi V$  — фазовращатель;  $DN$  — делитель напряжения;  $U_\omega$  — усилитель частоты  $\omega$ ;  $Uy$  — управляемое устройство;  $B$  — выпрямитель;  $FI$  — фазовый инвертор;  $SY$  — суммирующее устройство;  $PY$  — регистрирующее устройство.

устройства  $УY_1$  и  $УY_2$ , которые кинематически связаны с обратными преобразователями  $\Phi B$ ,  $DN$  и регистрирующим устройством  $PY$ . Изменение коэффициента деления  $DN$  и фазового сдвига, вносимого  $\Phi B$ , уравновешивают соответствующие изменения модуля и аргумента коэффициента преобразования датчика.

Для получения линейной зависимости между выходной величиной  $a$  и измеряемой величиной  $X$  в измерительную цепь вводится задающее устройство  $ZY$  с комплексным коэффициентом передачи

$$\dot{K}_0 = \rho_0 e^{j\psi_0}. \quad (4)$$

В случае использования амплитудного датчика оператором перед началом измерения устанавливаются такие значения  $\rho_0$  и  $\psi_0$ , чтобы при  $X=0$  выполнялось условие  $\dot{U}_1 = 2 \dot{U}_2 \left( \rho_0 = \frac{1}{2} \rho \text{ и } \psi_0 = \psi \right)$ .

Тогда с учетом действия обратных преобразователей  $DN$  и  $\Phi B$  напряжения на входах СС будут иметь вид:

$$U_1' = k_d \rho_0 U \sin(\omega t - \psi_0 \pm \psi_d); \quad (5)$$

$$U_2' = k_\phi \rho (1 \pm S_\rho X) U \sin(\omega t + \psi \pm S_\psi X - \psi_\phi), \quad (6)$$

где  $k_d = 0,5 (1 \pm \alpha_1 \beta_d)$  — коэффициент передачи  $DN$  (при  $\alpha=0$ ;  $k_d=0,5$ );  $k_\phi$  — коэффициент передачи  $\Phi B$ ;  $U$  — напряжение питающего генератора;  $\psi_\phi = \pm \alpha_2 \beta_\phi$  — фазовый сдвиг, вносимый  $\Phi B$ ;  $\psi_d$  — фазовый сдвиг, вносимый  $DN$ .

Амплитуда разностного напряжения на выходе СС равна

$$\Delta U = \frac{1}{2} k \rho_0 U \times \sqrt{k_\phi^2 (1 \pm S_\rho X)^2 + (1 \pm \alpha_1 \beta_d)^2 - 2k_\phi (1 \pm S_\rho X) (1 \pm \alpha_1 \beta_d) \cos(\pm S_\psi X \mp \alpha_2 \beta_\phi \pm \psi_d)} \quad (7)$$

где  $k$  — коэффициент передачи СС.

Измерительная цепь уравновешивается при выполнении условий:

$$\cos(\pm S_\psi X \mp \alpha_2 \beta_\phi \pm \psi_d) = 1; \quad (8)$$

$$k_\phi (1 \pm S_\rho X) - (1 \pm \alpha_1 \beta_d) = 0. \quad (9)$$

Из условий равновесия получим:

$$\alpha_1 = \frac{k_\phi - 1 + k_\phi S_\rho X}{\beta_d}; \quad (10)$$

$$\alpha_2 = \frac{S_\psi X \pm \psi_d}{\beta_\phi}. \quad (11)$$

При исследовании характера уравнения шкалы (10) необходимо учесть непостоянство выходного напряжения реального  $\Phi B$  при разных значениях вносимого им фазового сдвига [ $k_\phi = f(\psi_\phi)$ ]. Поэтому  $k_\phi$  не в явном виде зависит также от  $X$ , что и обуславливает нелинейность шкалы РУ и требует индивидуальной градуировки шкалы для каждого датчика. Но даже при использовании амплитудного датчика, у которо-

то  $\arg K_x = \text{const}$ , и линейной шкале РУ возникает погрешность из-за непостоянства фазового сдвига ДН при разных значениях коэффициента деления  $\Phi_d = f(k_d)$ , так как последнее вызывает дополнительную отработку по  $\alpha_2$ , что при  $k_\phi = f(\Phi_\phi)$  приводит к дополнительному изменению  $\alpha_1$ .

Снизить эту погрешность трудно, так как в настоящее время пока не представляется возможным построить точный круговой фазовращатель  $0-360^\circ$  с постоянным по модулю коэффициентом передачи для диапазона повышенных частот. Возникают трудности и при создании фазонесдвигающих делителей напряжения для повышенных частот. В случае использования амплитудных датчиков для получения информации достаточно измерить  $\frac{\Delta\rho}{\rho} = S_\rho X$ , а для фазовых датчиков —  $\Delta\psi = S_\psi X$ . Поэтому целесообразно исключить ФВ из цепи уравновешивания при работе с амплитудными датчиками [4] или исключить ДН при работе с фазовыми датчиками и использовать принципы раздельного уравновешивания схем сравнения [5]. В этом случае требования к обратным преобразователям ФВ и ДН значительно снижаются. Для этой цели в амплитудную схему сравнения (см. рис. 1, б) вводятся дополнительно предвключенные выпрямители, исключающие влияние изменения фазового угла выходного напряжения датчика на результат измерения. В фазовую схему сравнения для этой цели перед СС включают амплитудные ограничители или сумма-разностные преобразователи (см. рис. 1, в). Однако в схемах одновременного сравнения с предвключенными преобразователями из-за неидентичности и нестабильности их характеристик возникают дополнительные погрешности сравнения, которые нередко сводят на нет преимущества автоматических схем с раздельным уравновешиванием изменений модуля и аргумента.

Так, в схеме рис. 1, б при условии  $\text{mod } \dot{U}_1 = \text{mod } \dot{U}_2$  на выходе СС имеет место паразитное напряжение, обусловленное неравенством коэффициентов передач предвключенных усилителей ( $U'_\omega, U''_\omega$ ) и выпрямителей ( $B'_\omega, B''_\omega$ ), что вызывает ложное регулирующее воздействие на обратный преобразователь ДН и создает погрешность. Аналогичная погрешность возникает и в амплитудно-нечувствительной схеме рис. 1, в за счет нестабильности усиления усилителей  $U'_\omega, U''_\omega$  и неидентичности вольт-амперных характеристик выпрямителей  $B'_\omega, B''_\omega$ .

Указанные недостатки можно устранить в схемах периодического сравнения [6], в которых сравниваемые напряжения поочередно преобразуются одними и теми же преобразователями. В амплитудной фазонечувствительной схеме сравнения (рис. 2, а) с помощью автоматического коммутатора К сравниваемые напряжения  $U_1$  и  $U_2$  поочередно усиливаются и выпрямляются. Если амплитуды  $U_1$  и  $U_2$  не равны, то на выходе выпрямителя (амплитудного детектора АД) образуется переменное напряжение частоты коммутации, которое усиливается и воздействует на управляющее устройство УУ (фазочувствительный выпрямитель или реверсивный двигатель).

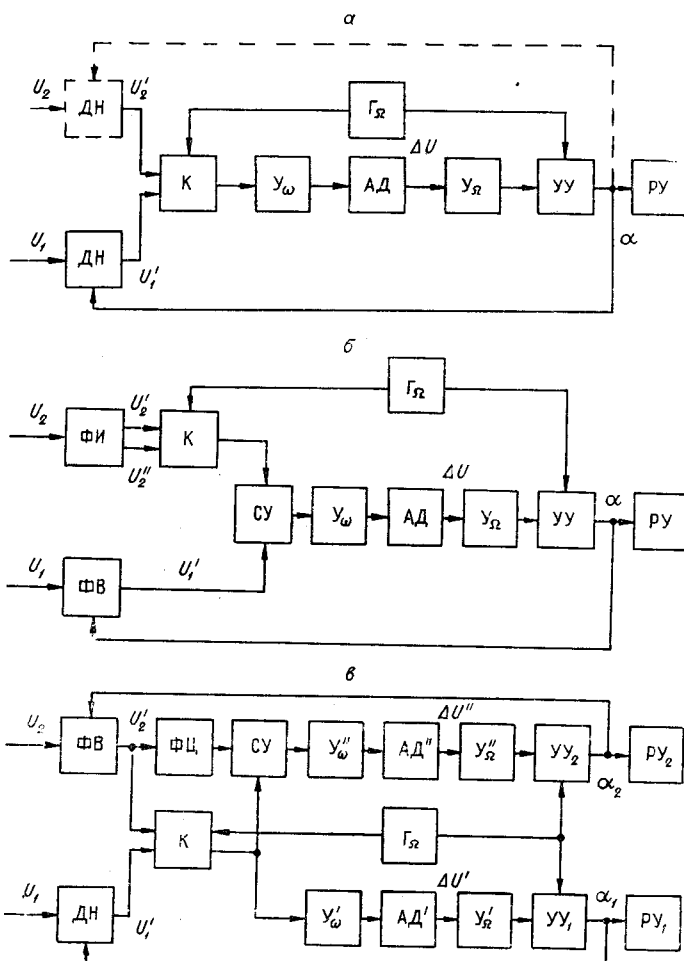
С помощью задающего устройства (на схеме не показано) оператором при градуировке прибора с данным датчиком устанавливается соотношение  $\text{mod } \dot{U}_1 = 2 \text{ mod } \dot{U}_2$  при  $x=0$  и  $\alpha=0$ , что соответствует  $2\rho=\rho_0$ . При изменениях измеряемой величины управляющее устройство УУ под действием  $\Delta U = \text{mod } \dot{U}_1 - \text{mod } \dot{U}_2$  изменяет коэффициент деления ДН в направлении уменьшения разности амплитуд сравниваемых напряжений  $U'_1$  и  $U'_2$ . Процесс автоматического уравновешивания длится до тех пор, пока

$$\rho (1 \pm S_\rho X) = \frac{\beta_0}{2} (1 \pm \alpha \beta_d). \quad (12)$$

Из (12) получим условие равновесия амплитудной фазонечувствительной схемы.

$$\alpha = \frac{S_\rho}{\beta_d} X. \quad (13)$$

Так как одноканальная схема сравнения фазонечувствительна, то фазовые сдвиги, вносимые ДН, а также нестабильность звеньев одноканального тракта ( $Y_\omega$ , АД и  $Y_\Omega$ ) не влияют на результат измерения. В качестве обратного преобразователя ДН может быть использован, например, управляемый делитель напряжения самописца уровня типа



*Ris. 2. Автоматические приборы периодического сравнения:  
а — амплитудный фазонечувствительный; б — фазовый амплитудно-нечувствительный;  
в — амплитудно-фазовый с частичным раздельным уравновешиванием; К — автоматический коммутатор;  $\Gamma_R$  — коммутационный генератор; АД — амплитудный детектор;  $Y_\Omega$  — усилитель частоты коммутации; ФЦ — фазосдвигающая цепь.*

Н110 [7] в частотном диапазоне до 200 кгц. При необходимости цифрового выхода в приборе целесообразно применение индуктивных делителей напряжения.

В фазовой амплитудно-нечувствительной схеме сравнения (см. рис. 2, б) напряжение  $U_2$  расщепляется на два равных противофазных напряжения  $U'_2$  и  $U''_2$ , которые поочередно поступают на один вход суммирующего устройства СУ. На второй вход СУ поступает выходное напряжение ФВ  $U_1$ . В один полупериод коммутации на выходе СУ образуется напряжение

$$\text{mod } \dot{U}'_c = k_1 U'_1 \sqrt{1 + (W')^2 + 2W' \cos \varphi}, \quad (14)$$

где  $k_1$  — коэффициент передачи сумматора;  $W = \frac{U'_2}{U'_1}$  — отношение амплитуд суммируемых напряжений;  $\varphi$  — фазовый сдвиг между суммируемыми напряжениями.

В следующий полупериод коммутации

$$\text{mod } \dot{U}''_c = k_1 U'_1 \sqrt{1 + (W'')^2 - 2W'' \cos \varphi}, \quad (15)$$

где  $W'' = \frac{U''_2}{U'_1}$  — отношение амплитуд суммируемых напряжений.

Если  $\text{mod } \dot{U}'_2 = \text{mod } \dot{U}''_2$ , то  $W' = W'' = W$  и соответственно имеем:

$$\text{mod } \dot{U}'_c = k_1 U'_1 \sqrt{1 + W^2 + 2W \cos \varphi}; \quad (16)$$

$$\text{mod } \dot{U}''_c = k_1 U'_1 \sqrt{1 + W^2 - 2W \cos \varphi}. \quad (17)$$

На выходе выпрямителя образуется переменное напряжение частоты коммутации с амплитудой

$$\Delta U = k_2 U'_1 (\sqrt{1 + W^2 + 2W \cos \varphi} - \sqrt{1 + W^2 - 2W \cos \varphi}), \quad (18)$$

где  $k_2$  — коэффициент передачи амплитудного детектора.

Напряжение  $\Delta U$  через УУ изменяет положение фазовращателя ФВ до тех пор, пока  $\Delta U$  при  $\varphi = \frac{\pi}{2}$  не станет равным нулю. При этом выполняется условие

$$\varphi = \psi \pm S_\psi X - \psi_0 + \psi_\Phi = \frac{\pi}{2}, \quad (19)$$

где  $\psi_\Phi = \pm \alpha \beta_\Phi$  — фазовый сдвиг, вносимый ФВ.

При градуировке прибора с помощью задающего устройства (неградуированного фазовращателя) при  $X=0$  для получения  $\alpha=0$  устанавливают значение начального сдвига фаз между напряжениями  $U_1$  и  $U_2$ , равное

$$\psi - \psi_0 = \frac{\pi}{2}. \quad (20)$$

Тогда с учетом (19) и (20) имеем

$$\alpha = \frac{S_\psi}{\beta_\Phi} X. \quad (21)$$

Так как в соответствии с (18) условие равновесия (19) не зависит от степени неравенства амплитуд сравниваемых напряжений, то рассмотренная схема реагирует только на изменения аргумента коэффициента передачи датчика.

Благодаря поочередному преобразованию сравниваемых сигналов  $U'_c$  и  $U''_c$  одноканальным трактом нестабильность характеристик СУ,  $U_\omega$ , АД и  $U_\varphi$  не влияет на результат измерения. В качестве обратного преобразователя ФВ могут быть использованы круговые индукционные фазовращатели типа ИФ, выпускаемые серийно на частоты от 1 до 200 кГц [8].

Для амплитудно-фазовых датчиков можно использовать схему периодического сравнения с раздельным уравновешиванием по амплитуде и частично по фазе (см. рис. 2, в). Выходные напряжения ФВ и ДН  $U'_1$  и  $U'_2$  поочередно усиливаются усилителем  $U''_\omega$  и детектируются АД'. Переменное разностное напряжение частоты коммутации через управляющее устройство УУ<sub>1</sub> управляет обратным преобразователем ДН. В результате автоматически уравниваются амплитуды напряжений  $U'_1$  и  $U'_2$ , а на регистрирующем устройстве РУ<sub>1</sub> воспроизводятся изменения модуля коэффициента передачи датчика, а следовательно, изменения величины  $X$ .

Канал фазовой регистрации включает суммирующее устройство СУ, на одном из входов которого включена квадратурная фазосдвигающая цепь ФЦ. К выходу СУ подключен канал выделения огибающей амплитудно-модулированного напряжения ( $U_\omega$ , АД'',  $U''_\omega$ ), выходное напряжение которого через УУ<sub>2</sub> воздействует на обратный фазовый преобразователь ФВ.

В один такт работы коммутатора К на входы СУ поступает напряжение  $U'_1$  и напряжение  $U'_2$ , сдвинутое по фазе на  $\frac{\pi}{2}$ . Выходное напряжение СУ при этом равно

$$\text{mod } U'_c = k_1 U'_1 \sqrt{1 + W^2 + 2W \cos(\varphi + 90^\circ)}, \quad (22)$$

где  $W = \frac{U'_2}{U'_1}$  — отношение амплитуд суммируемых напряжений. В по-

следующий такт на входы СУ поступает одно и то же напряжение  $U'_2$ , причем на один вход непосредственно, а на второй — через квадратурную фазосдвигающую цепь ФЦ. Тогда

$$\text{mod } U''_c = k_1 \sqrt{2} U'_1 W. \quad (23)$$

Учитывая, что амплитудный канал автоматически уравнивает амплитуды напряжений ( $W=1$ ), имеем

$$\text{mod } U'_c = k_1 U'_1 \sqrt{2(1 + \sin \varphi)}. \quad (24)$$

Разностное напряжение на выходе АД пропорционально разности амплитуд напряжений, формируемых на выходе СУ в разные такты работы коммутатора, т. е.

$$\Delta U = k_1 k_2 U'_1 \sqrt{2} (1 - \sqrt{1 + \sin \varphi}), \quad (25)$$

где  $k_2$  — коэффициент передачи детектора.

При  $\varphi=0$  исчезает переменное напряжение на выходе амплитудного детектора. В результате фазовый канал посредством обратного фазового преобразователя ФВ автоматически поддерживает синфазность сравниваемых напряжений  $U_1$  и  $U_2$ . Так как приращения фазового сдвига однозначно определяются изменениями аргумента коэффициента передачи датчика под воздействием  $X$ , то на РУ будут воспроизводиться также изменения величины  $X$ . При градуировке прибора с амплитудно-фазовым датчиком при  $X=0$  для получения  $a_1=0$  и  $a_2=0$  задающее устройство регулируется таким образом, чтобы  $\rho_0=2\rho$ ,  $\psi_0=\varphi$ . При таких уставках возможна регистрация положительных и отрицательных значений измеряемых величин. Избыточная информация об изменениях  $X$  по двум каналам регистрации позволяет путем дополнительной обработки снизить влияние помех на результат измерения.

При питании датчика от генератора высокой частоты возникают конструктивные и технологические трудности при выполнении обратного преобразователя в виде фазонесдвигущего управляемого делителя напряжения или кругового фазовращателя. В этих случаях целесообразно использовать компарационные схемы периодического сравнения, в которых измерение отношения амплитуд двух переменных напряжений осуществляется посредством делителя, работающего в цепи постоянного тока.

В амплитудной компарационной схеме (рис. 3, а) сравниваемые напряжения  $U_1$  и  $U_2$  поочередно усиливаются усилителем и выпрямляются выпрямителем В, нагрузкой которого по постоянному току служит делитель напряжения ДН. Коммутатор  $K_2$  работает синхронно с входным коммутатором  $K_1$ . В результате действия  $K_2$  на вход усилителя  $U_\omega$  поочередно поступают выпрямленные напряжения  $U'_2$  и  $k_4 U'_1$ , где  $k_4 = \frac{1}{2} (1 \pm \beta_d \alpha)$  — коэффициент передачи ДН.

Если  $U'_1 \neq k_4 U'_2$ , то усилителем переменного напряжения  $U_\omega$  усиливается разностное напряжение

$$U_\omega = k_2 k_3 (\text{mod } U_1 - k_4 \text{mod } U_2) \sin \Omega t, \quad (26)$$

где  $k_2$  — коэффициент усиления усилителя  $U_\omega$ ;  $k_3$  — коэффициент выпрямления выпрямителя;  $\Omega$  — круговая частота коммутации.

При автоматическом управлении коэффициентом деления ДН и линейной амплитудной характеристике усилителя  $U_\omega$  и выпрямителя В схема уравновешивается при условии

$$k_4 = \frac{\text{mod } U_1}{\text{mod } U_2}, \quad (27)$$

откуда

$$\alpha = \frac{s_\rho}{\beta_d} X.$$

Из (27) следует, что изменения коэффициента преобразования датчика будут однозначно воспроизводиться изменениями коэффициента  $k_4$ , а следовательно, и перемещениями  $\alpha$  регистрирующего устройства.

Так как ДН включен в цепь выпрямленного тока, то в качестве ДН и РУ может быть использован реохорд и регистрирующее устройство автоматического компенсатора постоянного тока, например ЭПП-09.

Аналогичные трудности на высоких частотах возникают при выборе обратных фазовых преобразователей. На рис. 3, б приведена компарационная фазовая схема, в которой в качестве обратного преобразователя использован делитель напряжения ДН. Если в процессе изменения  $\text{mod } K_x = \text{const}$  при всех значениях  $\arg K_x$  [9], то при предвари-

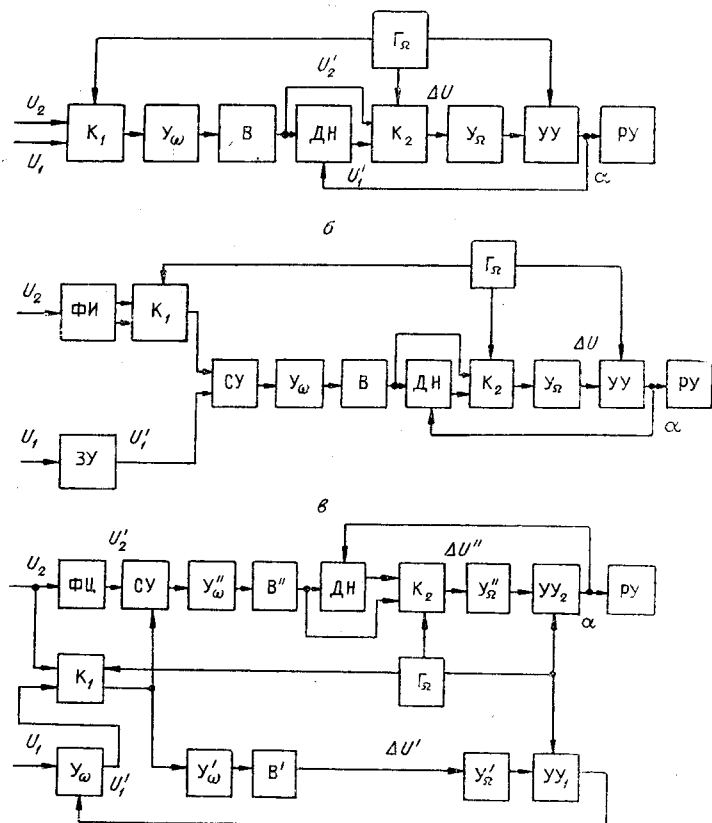


Рис. 3. Автоматические компарационные приборы периодического сравнения:

а — амплитудно-фазонечувствительный; б — фазовый амплитудно-чувствительный; в — фазовый амплитудно-нечувствительный.

тельном уравнивании амплитуд сравниваемых по фазе напряжений с помощью ЗУ на выходе суммирующего устройства СУ поочередно во времени формируются два напряжения, амплитуды которых в соответствии с (16) и (17) при  $W=1$  равны:

$$\text{mod } U'_c = k_1 U \cos \frac{\psi \pm S_\phi X - \psi_0}{2}; \quad (28)$$

$$\text{mod } U''_c = k_1 U \sin \frac{\psi \pm S_\phi X - \psi_0}{2}. \quad (29)$$

Напряжения  $U'_c$  и  $U''_c$  усиливаются, выпрямляются и через коммутатор  $K_2$  поочередно воздействуют на усилитель  $Y_2$ . Одно из суммарных напряжений поступает на  $Y_2$  через делитель  $DН$ , а другое — непосредственно.

Переменное напряжение, усиливающее  $U_\omega$ , равно

$$U_\omega = k_1 k_2 k_3 (\text{mod } \dot{U}_c'' - k_4 \text{mod } \dot{U}_c'). \quad (30)$$

При автоматическом уравновешивании схемы с учетом (28) и (29) имеем

$\psi - \psi_0 \approx \frac{\pi}{4}$ , что соответствует  $\alpha=0$ . В этом случае

$$X = \frac{2 \operatorname{arctg} \frac{1}{2} (1 \pm \alpha \beta_d) - \frac{\pi}{4}}{S_\psi}. \quad (32)$$

С учетом разложения  $\operatorname{arctg} k_4$  при значениях  $k_4 < 1$  в степенной ряд выражение (32) можно представить в виде

$$X = \frac{2 \left[ \frac{1}{2} (1 \pm \alpha \beta_d) + \sum_{n=1}^{\infty} (-1)^n \frac{(1 \pm \alpha \beta_d)^{(2n+1)}}{2n+1} \right] - \frac{\pi}{4}}{S_\psi}. \quad (33)$$

Ограничиваюсь тремя первыми членами разложения для случая  $\alpha \beta_d \ll 1$ , что соответствует  $S_\psi X \ll \psi_0$ , и пренебрегая членами второго порядка малости, получим

$$\alpha \approx \frac{S_\psi}{\beta_d} X. \quad (34)$$

Таким образом, шкала компенсатора постоянного тока, используемого в качестве ДН и РУ, может быть отградуирована в значениях измеряемой величины  $x$ .

В том случае, когда выходное напряжение фазового датчика изменяется по амплитуде при изменениях  $X$ , то схема рис. 3, б может дать большую погрешность. Тогда целесообразно использовать фазочувствительную схему рис. 3, в с автоматическим уравниванием амплитуд суммируемых напряжений.

Канал  $U'_\omega$ ,  $B'$ ,  $U_\omega'$  служит для выделения напряжения, пропорционального разности амплитуд сравниваемых напряжений, и управления коэффициентом усиления усиителя  $U_\omega$ . Канал  $U''_\omega$ ,  $B''$ , ДН,  $U_\omega$  регистрирует изменения отношения моделей двух суммарных напряжений (23) и (24)

$$k_4 = \frac{\text{mod } \dot{U}_c'}{\text{mod } \dot{U}_c''} = \sqrt{1 + \sin(\psi - S_\psi X - \psi_0)}, \quad (35)$$

где  $k_4$  — коэффициент передачи делителя ДН.

Если с помощью задающего устройства при  $X=0$  устанавливает-

ся нулевой сдвиг между напряжениями  $U_1$  и  $U_2$  ( $\psi = \psi_0$ ) и  $k_4 = 1$  при  $a = 0$ , то

$$\sqrt{1 - \sin S_\psi X} = 1 - \alpha \beta_d. \quad (36)$$

При регистрации малых фазовых углов ( $\sin S_\psi X \ll 1$ ) получим

$$1 - \frac{1}{2} \sin S_\psi X = 1 - \alpha \beta_d,$$

откуда

$$\alpha \approx \frac{S_\psi}{2\beta_d} X. \quad (37)$$

При изменениях аргумента  $K_x$  в широких пределах уравнение шкалы будет иметь вид

$$\alpha = \frac{\sqrt{1 - \sin S_\psi X} - 1}{\beta_d}. \quad (38)$$

Автоматическое уравнивание амплитуд напряжений на входе СУ исключает погрешности канала фазовой регистрации из-за изменения модуля  $K_x$ . При необходимости измерения знакопеременной величины ( $\pm X$ ) начальный фазовый сдвиг устанавливается больше нуля ( $\psi_0 - \psi > 0$ ), а нуль шкалы делителя смешается в середину шкалы ( $k_4 = 0,5$  при  $a = 0$ ).

Динамический диапазон компарационных схем уравновешивания определяется в основном линейностью вольт-амперной характеристики выпрямителей. Применение современных методов компенсации нелинейности выпрямителей (см., например, [10]) позволяет измерять относительные изменения модуля коэффициента передачи до 40 дБ с погрешностью меньше 0,1 дБ и изменения аргумента в пределах  $\pm 90^\circ$  с погрешностью не более  $1^\circ$ .

## ВЫВОДЫ

Для автоматической регистрации комплексного коэффициента передачи параметрических датчиков целесообразно применение приборов сравнения с автоматическим уравновешиванием по амплитуде и фазе с помощью обратных преобразователей, выполненных в виде делителей переменного напряжения и круговых фазовращателей.

Исключить влияния фазовых погрешностей делителей напряжения и амплитудных погрешностей фазовращателей на результат измерения можно путем раздельного уравновешивания схемы прибора сравнения по амплитуде и фазе.

Повышение точности приборов сравнения с раздельным уравновешиванием возможно при переходе на одноканальные схемы периодического сравнения, нечувствительные к фазе или амплитуде.

При питании датчика от генератора высокой частоты перспективно применение компарационных схем периодического сравнения с обратными преобразователями в виде делителей постоянного напряжения.

## ЛИТЕРАТУРА

1. Ф. Б. Гриневич. Автоматические мосты переменного тока. Новосибирск, Изд-во СО АН СССР, 1964.
2. Т. М. Алиев, А. М. Мелик-Шахназаров, И. Л. Шайн. Автоматические компенсационные устройства переменного тока. Баку, «АЗЕРНЕШР», 1965.
3. С. Н. Строкач. Принципы построения автоматических компенсаторов полярно-координатного типа.— В сб. «Автоматические и показывающие электроизмерительные приборы и новые материалы». М., ЦИНТИЭлектропром, 1962.
4. Ю. Б. Буланцев, Б. И. Копылов, П. И. Попов. Безэлектродный высокочастотный концентратомер.— Измерительная техника, 1966, № 6.
5. К. Б. Карапеев, Г. А. Штамбергер. Обобщенная теория мостовых цепей переменного тока. Новосибирск, Изд-во СО АН СССР, 1961.
6. П. П. Онатский, Ю. А. Скрипник. Анализ возможностей измерительных приборов периодического сравнения.— ИВУЗ, Радиотехника, 1966, № 3.
7. Электроизмерительные приборы (справочник). М., ОНТИ, 1965.
8. Вращающиеся трансформаторы, сельсины, фазовращатели. Техническая информация, ПШО-012-002. М., ЦИНТИЭлектропром, 1964.
9. К. Г. Рего. Фазовые неуравновешенные мосты переменного тока.— Контрольно-измерительная техника, вып. 2. Львов, Изд-во Львовского ун-та, 1966.
10. О. Ф. Меньших. Устройство с расширенными пределами линейного детектирования.— Измерительная техника, 1966, № 5.

Поступила в редакцию  
10 октября 1966 г.,  
окончательный вариант —  
4 июля 1967 г.